

یک الگوریتم ترکیبی کارآمد بهبودیافته برای مسئله‌ی سفر چند فروشنده در مقیاس بزرگ

سید حمید میرمحمدی (دانشیار)

سیما امیری پبدنی (دانشجوی دکتری)

پریسا فیض الهی^{*} (دانشجوی دکتری)

دانشکده‌ی مهندسی صنایع و سیستم‌ها، دانشگاه صنعتی اصفهان

مهمنسی صنایع و مدیریت شرتف، (زمستان ۱۴۰۰) دوری ۱، ۷۳، شماره ۳، ص. ۱۲۳-۱۳۳، (اقداد شنبه‌ی قیمتی)

مسئله‌ی چندین فروشنده دوره‌گرد (MTSP) گسترشی مشهور از مسئله‌ی فروشنده دوره‌گرد (TSP) است. تحقیقات این مسئله بر خلاف مسئله TSP که گستردگی آن توجه زیادی را به خود معطوف کرده است، بسیار محدود بوده و ازین رو الگوریتم جدید ترکیبی موجود به نام الگوریتم ژنتیک - مورچگان بهبودیافته (IAC-PGA) (ارائه شده است که در آن از یک روش جستجوی محلی به منظور بهبود الگوریتم بهره گرفته شده است. ایده اصلی این مقاله آن است که از الگوریتم ژنتیک برای تعیین تعداد شهرها و نقطه‌ی شروع هر فروشنده بهره بگیریم و سپس از الگوریتم مورچگان برای تعیین تور استفاده کنیم. نتایج حاصل از مقایسه نتایج الگوریتم با دیگر الگوریتم‌های موجود در ادبیات موضوع و تجزیه و تحلیل آن نشان می‌دهد که الگوریتم پیشنهادی در حل MTSP در مقیاس بزرگ مؤثر است.

h_mirmohammadi@iut.ac.ir
eng.amiri940@gmail.com
parisafeizollahy@in.iut.ac.ir

وازگان کلیدی: الگوریتم ژنتیکی پارتتو، الگوریتم کلونی مورچه‌ها، مسئله فروشنده دوره‌گرد چندگانه همراه با الگوریتم ترکیبی بهبودیافته، روش جستجوی محلی ۲-opt.

۱. مقدمه

مشخص می‌شوند. در مورد MTSP، کروموزوم‌ها به صورت دوبخشی برای یافتن راه‌حل‌های نزدیک به بهینه و کاهش تعداد راه‌حل‌های ممکن برای الگوریتم ژنتیک با یک اپراتور تقاطع جدید طراحی شده‌اند^[۱]، الگوریتم جستجوی استعماری گرگ دوبخشی اصلاح شده^[۲]، الگوریتم کلونی زنبورهای مصنوعی (ABC) و الگوریتم بهینه‌سازی علف‌های هرز^[۳] برای مسئله MTSP توسعه یافته‌اند. از آنجا که مسئله فروشنده دوره‌گرد چندگانه یک مسئله کاربردی در زندگی روزمره (مانند توزیع مواد غذایی) است، به دنبال یک الگوریتم کاربردی هستیم که بتواند مقدار مسافت (هزینه) را تا جای ممکن کاهش دهد و به ازی نمونه‌ی معیار یکسانی با مقاله‌ی موجود در ادبیات موضوع^[۴] مقایسه شده است؛ در اکثر نمونه‌ها شاهد بهبود مقدار تابع هدف هستیم.

مقاله به شرح زیرسازمان‌دهی شده است: بخش ۲ مفهوم و مرور ادبیات مسئله MTSP است. در بخش ۳ تعریف مسئله که شامل الگوریتم‌های ژنتیک پارتتو (PGA) و الگوریتم کلونی مورچه‌ها (ACO) و همچنین یک الگوریتم بهبودیافته ژنتیک - مورچگان (IAC-PGA)^۳ است، بررسی می‌کند. همچنین روش حل MTSP در بخش ۳ معرفی شده است. در بخش ۴ نتایج محاسباتی الگوریتم‌های مختلف و آنالیز میان آنها مطرح شده و سرانجام بخش ۵ به نتیجه‌گیری مقاله و ایده‌های جدید به منظور مطالعات آینده می‌پردازد.

برخی محققان در زمینه‌های مختلف به مسئله فروشنده دوره‌گرد (TSP)^[۱] توجه کرده‌اند که یک مسئله کلاسیک NP-complete است که در بهینه‌سازی ترکیبی با آن روبه‌رو می‌شوند.^[۲] هدف این است که با شرط این که همه گرههای (شهرها) موجود فقط یک بار از طریق فروشنده بازدید شود، مسیر فروشنده با کمینه هزینه (مسافت) پیدا شود. برخی الگوریتم‌های دقیق و فراابتکاری می‌توانند TSP را به طور مؤثر حل کنند؛ همانند الگوریتم دقیق شاخه و برش^[۲]، الگوریتم‌های تقریبی^[۳]، الگوریتم ژنتیک^[۴-۵]، الگوریتم کلونی زنبورهای مصنوعی^[۶-۷]، الگوریتم کلونی مورچه‌ها^[۸-۹]، الگوریتم چرخه‌ی آب^[۱۰]، الگوریتم بهینه‌سازی ذرات^[۱۱] و الگوریتم شبیه‌سازی تبرید.^[۱۲]

مسئله فروشنده دوره‌گرد چندگانه (MTSP)^[۲] یک مدل کلی از مسئله مشهور فروشنده دوره‌گرد TSP است. در مورد MTSP، فروشنده‌گان تعداد مشخصی از شهرها را به جای بازدید از کل شهرها (n) پیش رو دارند و تمام شهرها باید توسط مجموع فروشنده‌گان بازدید شود و هدف این است که تورهایی برای همه فروشنده‌گان (m) با کمینه مسافت پیدا شود. شهرهای شروع و خاتمه هر فروشنده

* نویسنده مسئول

تاریخ: دریافت ۳۱/۳/۱۳۹۹، اصلاحیه ۲۵/۱/۱۳۹۹، پذیرش ۲۳/۴/۱۴۰۰

DOI:10.24200/J65.2021.55500.2109

۲. معرفه ادبیات

نمی‌کند. در نتیجه، همیشه برای حل MTSP با نقاط شروع ثابت استفاده می‌شود. با توجه به این که MTSP از نظر تعداد متغیرهای موجود دارای پیچیدگی بالاتری نسبت به فروشنده‌ی دوره‌گرد است. دست‌یابی رویکردهای قبلی در حل MTSP باعث شد تا یک رویکرد مبتنی بر الگوریتم زنگنه به نام الگوریتم زنگنه که مورچگان که به آن (AC-PGA) گفته می‌شود برای چندین نقطه‌ی شروع غیرثابت ایجاد شود این رویکرد برای حل مسئله‌ی MTSP به نحوی در نظر گرفته شده است که فروشنده‌ها به جای یک نقطه‌ی شروع ثابت، از نقاط مختلف می‌توانند حرکت کنند و هر یک از آنها باید تور خود را در موقعیت شروع به کار خود پایان دهند.^[۱۶]

الگوریتم پیشنهادی این مقاله، بهبودیافته‌ی الگوریتم AC-PGA است که نام آن IAC-PGA است. در این الگوریتم متغیرها به دو بخش تقسیم و به ترتیب حل می‌شوند. با این تفاوت که در الگوریتم هیبریدی پیشنهادی این مقاله، بعد از تعیین تعداد شهرهایی که هر فروشنده باید بازدید کند، متغیرهای قسمت اول (نقاط شروع هر فروشنده) از روی نقاط شکست بهترین کروموزوم الگوریتم زنگنه ایجاد می‌شوند و به عنوان متغیرهای ورودی الگوریتم مورچگان در نظر گرفته می‌شوند. در الگوریتم مورچگان به منظور ایجاد تنوع و دست‌یابی به جواب‌های بهتر، از عملگر 2-opt، برای جستجوی محلی با جایه‌جایی دوستی روش تورهای ایجاد شده برای هر فروشنده (متغیرهای قسمت دوم) استفاده شده است. همچنین برای ایجاد تنوع بیشتر در الگوریتم زنگنه، از عملگر جدید جهش بهره‌گرفته شده است. در الگوریتم مورچگان از یک روش متفاوت برای فرمون ریزی استفاده شده است. مقایسه‌ی IAC-PGA با سایر رویکردهای اکتشافی در مورد نمونه‌های معیار MTSP موجود در ادبیات شان می‌دهد که رویکرد پیشنهادی از رویکردهای دیگر، به ویژه در مردم داده‌های در مقیاس بزرگ، بهتر است. نوآوری اصلی این مقاله تغییر در الگوریتم موجود است به نحوی که برای نمونه‌ی معیارهای مشخص در مقاله‌ی پایه^[۱۷] کارایی بیشتری داشته باشد و علاوه بر آن به منظور نشان دادن کارا بودن الگوریتم جدید برای اولین بار برای ۱۰۰۰ شهر با تعداد فروشنده‌گان مختلف مسئله اجرا شده و توانسته در زمان معقولی به یک جواب موجه دست پیدا کند.

۳. تعریف مسئله

MTSP مورد نظر در این مقاله دارای چندین نقطه‌ی شروع غیرثابت است و می‌توان به طور خلاصه به شرح زیر توصیف کرد:

یک گراف بدون جهت $G = (V, A)$ در نظر بگیرید که V مجموعه گره‌ها و A مجموعه‌ی از قوس‌هاست که نمایانگر یال‌های موجود است.تابع هدف تقسیم V به زیرمجموعه‌هایی به تعداد فروشنده‌گان است و هدف یافتن کمینه هزینه‌ی این مجموعه از قوهایی که رأس در هر زیرمجموعه S_i است که رأس‌ها مربوط به فروشنده‌ی i است. تابع هدف MTSP را می‌توان چنین توصیف کرد:

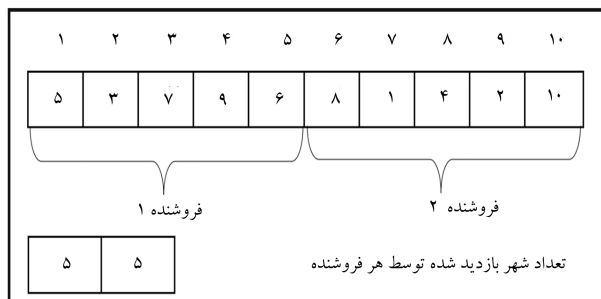
$$\text{Min} \sum_{i=1}^m (d_{n_i, 1}^{i, 1} + \sum_{j=1}^{n_i - 1} d_{j, j+1}^{i, 1}) \quad (1)$$

عبارت اول نشان‌دهنده‌ی مسافت طی شده تمامی فروشنده‌گان است و عبارت دوم مسافت طی شده فروشنده‌ی i است (شاخص اولین شهری که فروشنده‌ی i از آن بازدید کرده است n_i است) هر n_i باید کمینه و بیشینه تعداد شهرهایی را که هر فروشنده

مدل MTSP به طورگستردگی در برنامه‌ریزی^[۱۷]، شبکه‌ی نگهداری و تعمیرات^[۱۸]، تدارکات^[۱۹] و بازرسی کیفیت به منظور انتخاب مسیر حمل و نقل^[۲۰] به کار بrede شده است.

در مقایسه با TSP استاندارد، تحقیق در مورد MTSP بسیار کم تراست. با عemic شدن تحقیقات پژوهشگران در مسئله‌ی MTSP، این موضوع بیشتر مورد توجه قرار گرفته و از این رو بسیاری از روش‌های مؤثر توسعه یافته است. این رویکردها را می‌توان به سه نوع تقسیم کرد: رویکرد دقیق، رویکرد ابتکاری و فراتکاری. الگوریتم‌های دقیق، روش شاخه و کران است که در ابتداء برای حل MTSP در مقیاس بزرگ پیشنهاد شده است.^[۲۱] اگرچه الگوریتم‌های دقیق دارای خصوصیات ریاضی‌اند، اما توانایی حل مسئله‌ی آنها کاملاً به اندازه مسئله بستگی دارد. هنگامی که اندازه بزرگ می‌شود، ممکن است چنین مسئله‌یی در مدت زمان قابل قبول حل نشود، یا حتی قابل حل نباشد. برای غلبه بر مشکلات محاسباتی فوق، بیشتر محققان به تحقیق در مورد الگوریتم‌های اکتشافی می‌پردازند، که می‌تواند به راحتی یک راه حل بهینه یا نزدیک به بهینه برای MTSP با اندازه بزرگ به دست آورد. برخی از روش‌های دقیق و اکتشافی موجود MTSP شرح داده شده است.^[۲۲] یک مسئله‌ی ناهمگن که به صورت چند نقطه‌ی شروع، مسئله‌ی فروشنده‌ی دوره‌گرد چندگانه به یک مسئله‌ی فروشنده‌ی دوره‌گرد به صورت تکی و نامتقارن تبدیل شده و با استفاده از الگوریتم اکتشافی مشهور لین کرنیگان - هلسکا حل شده است.^[۲۳] یک الگوریتم فراتکاری بهبودیافته مبتنی بر الگوریتم کلونی زنبورهای مصنوعی^[۲۴] (برای محدود کردن فضای جستجو و کاهش زمان محاسبه، برای چند فروشنده‌ی دوره‌گرد و چند نقطه‌ی شروع به صورت یکپارچه ارائه شده است. در همان سال، یک الگوریتم بهینه‌سازی ذرات و زنگنه بیهودیافته برای MTSP به چاپ رسید که به منظور جلوگیری از عملیات تکراری در تقاطع و کاهش مقدار محاسبه، الگوریتم زنگنه پیشنهادی برای MTSP طراحی شده است.^[۲۵] یک مدل بهبودیافته با پارتبین‌بندی درجه دو ارائه شده است که در بهینه‌سازی ساختار پیچیده‌ی توبولوژی استفاده می‌شود.^[۲۶]

الگوریتم زنگنه GA یک الگوریتم تکاملی است که اصول انتخابی آن شایسته‌ترین فرد میان جمعیت است^[۲۷] و برای مسئله‌ی MTSP توسعه‌ی الگوریتم‌های زنگنه (GA) برای کاهش فاصله‌ی کلی و تفاوت بین مسافت طی شده توسط هر فروشنده ارائه شده است.^[۲۸] یک الگوریتم زنگنه جدید مؤثر با اپارتورهای محلی در حل MTSP و تولید راه حل باکیفیت بالا در مدت زمان معقول برای برنامه‌های زنگنه واقعی ارائه شده است.^[۲۹] همان‌طور که دیده می‌شود، GA می‌تواند همه‌ی متغیرها را به طور هم‌زمان در نظر بگیرد (هم نقاط شروع و هم توالی شهرها)، اما به مقدار اولیه جمعیت بستگی دارد. وقتی فضای راه حل بزرگ‌تر می‌شود، توانایی الگوریتم برای یافتن راه حل بهینه بسیار ضعیف می‌شود. الگوریتم کلونی مورچه‌ها یک الگوریتم متداول برای MTSP است و ثابت شده است که یک روش قابل قبول برای تعدادی از مسائل Np-hard هست^[۳۰] و این الگوریتم برای حل مسئله‌ی فروشنده‌ی دوره‌گرد چندگانه تعیین شده مورد استفاده قرار گرفته است^[۳۱]، مسئله‌ی فروشنده‌ی دوره‌گرد چندگانه با وجود نقاط شروع ثابت با پارامترهای غیرتصادفی بررسی شده است.^[۳۲] الگوریتم کلونی مورچه‌ها وابستگی ضعیفی به مقدار اولیه و توانایی عالی در جستجوی راه حل بهینه هنگام استفاده، برای حل مسئله‌ی MTSP نشان می‌دهد. با این وجود، نقاط شروع فروشنده را تعیین



شکل ۱. تعیین نقاط شکست روی بهترین کروموزم.

۵	۳	۷	۹	۶
۸	۱	۴	۲	۱۰

شکل ۲. ماتریس مسیر بعد از تعیین نقاط شکست.

۲.۳. رویکرد IAC-PGA برای MTSP

در این بخش، یک الگوریتم ترکیبی جدید مبتنی بر PGA و ACO برای حل MTSP تهیه شده است. همان طور که قبلاً توضیح داده شد، MTSP متغیرهای زیادی دارد و از این رو الگوریتم طراحی شده آنها را به دو قسمت تقسیم می‌کند و از روش‌های مختلفی برای تعیین مقدار آنها استفاده می‌کند. PGA مورد بحث در این مقاله ممکن است به همگرایی زودرس برسد. با ترکیب مراحل الگوریتم‌های PGA و ACO، الگوریتم جدید بهبودیافته می‌تواند وابستگی ACO به مقادیر اولیه را کاهش دهد، از همگرایی زودرس جلوگیری کند و راه حل بهتری برای MTSP پیدا کند.

۱.۲.۳. گام‌های الگوریتم PGA

از طریق الگوریتم PGA، بهترین کروموزوم که شامل یک توالی از همه شهرها که بر اساس کمترین مسافت بین شهرهای است، استخراج می‌شود. سپس با تعیین تعداد شهری که هر فروشنده می‌تواند بازدید کند و ایجاد نقاط شکست روی بهترین کروموزوم شروع می‌شود. در الگوریتم هیچ علملگر تقاطعی وجود ندارد، عملگر تولید نسل بدین صورت است که در مرحله‌ی اول، ابتدا به نسبت y از جمعیت اولیه جهت اعمال علملگر جهش انتخاب می‌شود و روی هر والد انتخاب شده، دو نقطه‌ی تصادفی انتخاب می‌شود و سپس توالی شهرها میان این دو نقطه معکوس می‌شود. این روش جهش از توالی شهر تکراری جلوگیری می‌کند و اشکالی در موجه بودن جواب ایجاد نمی‌شود.

کدگذاری راه حل: روش کدگذاری توالی ساده‌ترین و کارآمدترین روش برای بیان راه حل MTSP است و از یک سری شماره شهر برای نشان دادن هر جواب استفاده می‌کند. برای کدگذاری توالی در MTSP از ماتریس مسیر و کروموزوم تعداد شهر بازدید شده برای هر فروشنده استفاده شده است.

به عنوان مثال، فرض کنید که دو فروشنده باید از ۱۰ شهر بازدید کنند و بهترین کروموزوم (دبیله مسیر) به صورت $[1\ 4\ 2\ 10\ 5\ 3\ 7\ 9\ 6\ 8]$ و دنباله‌ی تعداد شهر 5 استخراجی از الگوریتم زنگنه پارتو به صورت شکل ۱ باشد.

قسمت اول یک دنباله عدد صحیح از n است که مسیر را نشان می‌دهد و بخش دوم کروموزوم شامل m عدد است که هر عدد نشان دهنده تعداد شهر اختصاص یافته به هر فروشنده است. ماتریس توالی مسیر در شکل ۲ بعد از تعیین

باید از آن بازدید کند را برآورده کند، به طوری که مجموع شهرهای بازدید شده برابر با تعداد کل شهرها شود. نماد $+j,j$ فاصله‌ی بین شهر j و شهر بعدی را نشان می‌دهد که فروشنده‌ی j باید بازدید کند.^[۱۱]

۱.۳. عملکرد الگوریتم زنگنه پارتو و مورچگان

الگوریتم زنگنه (GA) یک مدل محاسباتی است که نظریه‌ی تکامل بیولوژیکی دارین را شبیه‌سازی می‌کند و سپس بهترین راه حل را پیدا می‌کند. با توجه به عملگر تقاطع، در صورت ایجاد شهرهای تکراری که باعث نقض نیازهای مسئله می‌شوند، نمی‌توان از الگوریتم زنگنه کلاسیک برای حل مستقیم TSP استفاده کرد. برخی از محققان بعضی از اپراتورهای تقاطع ویژه را توسعه داده‌اند که می‌توانند برای حل مسئله‌ی فروشنده‌ی دوره‌گرد، از طریق الگوریتم زنگنه استفاده کنند.^[۲۵] برای حل کمینه مسافت مسئله‌ی MTSP با چندین ابزار دو الگوریتم زنگنه پارتو (PGA) پیشنهاد شده است. یکی از آنها PGA با انتخاب رولت و انتخاب نخبه‌گر است که در آن چهار نوع جدید از عملیات جهش ارائه شده است. مورد دیگر به نام IPGA انتخاب و جهش را به هم پیوند می‌دهد. یک اپراتور انتخاب جدید و یک اپراتور جهش جامعتر استفاده می‌شود.

زن‌های هر فرد یک راه حل ممکن برای مسئله را نشان می‌دهد و تابع برازنده‌گی هر فرد به معنای ارزش عملکرد در کروموزوم را به شده در PGA است. در فرایند انتخاب طبیعی، فرد با سازگاری بیشتر احتمال بالاتر برای زنده ماندن و تولید فرزندان دارد. این الگوریتم متشابه GA استاندارد است، به جز این که PGA، هر کوکد را به جای دو نفر از والد فقط با یک فرد جداگانه تولید می‌کند. از این طریق می‌توان از تکرار در عملگر تقاطع در روند تولید نسل بعدی جلوگیری کرد.

در مورد مسئله‌ی تعریف شده، الگوریتم PGA برای حل مسئله استفاده می‌شود. با این حال، فرایند تولید مثل یک جستجوی محلی در یک منطقه‌ی کوچک اطراف کروموزوم‌هایی است که جمعیت فعلی از ژن فرزند (ناشی از جهش زنگنه و الدین) وجود دارد. به عبارت دیگر، الگوریتم خیلی به جمعیت اولیه بستگی دارد و منطقه‌ی دیگر را در فضای حل نادیده می‌گیرد. با افزایش مقدار داده‌ها، فضای حل نیز ممکن است به سرعت افزایش یابد. در این حالت، اندازه‌ی ناحیه جستجو تغییر زیادی نخواهد کرد و اگر با رامترهای PGA تغییر نکنند، تعداد کروموزوم‌های نادیده گرفته شده تا حد زیادی افزایش می‌یابد. در نتیجه، کارایی الگوریتم بسیار پایین خواهد آمد.

الگوریتم کلونی مورچه‌ها^[۲۶] با الهام از رفتار مورچه‌های واقعی در طبیعت ثابت کرده است که برای بسیاری از مسائل NP-hard قابل قبول است. به عنوان مثال، مسئله‌ی TSP توسط الگوریتم ACO به طور مؤثر حل شده است.

در مورد مسئله‌ی بهینه‌سازی ACO با شبیه‌سازی فرایند فرمون ریزی مورچه‌ها، بهترین راه حل را پیدا می‌کند. راه حل امکان پذیر مسیر مورچه‌های فضای حل مسئله را تشکیل می‌دهد. هم غلظت فرمون و هم طول مسیر می‌تواند در انتخاب سفر آن مورچه تأثیر بگذارد.

ویژگی‌های بیان شده توسط ACO نشان می‌دهد که برای حل مسئله‌ی TSP، الگوریتم ACO برای حل مسئله‌ی فروشنده‌ی دوره‌گرد چندگانه با نقطه‌ی شروع ثابت موردن استفاده قرار گرفته است و نتایج آزمایش تأیید می‌کند که الگوریتم مورچگان بهتر می‌تواند چنین مسائلی را حل کند.^[۲۷] با این حال، ACO توانایی تعیین نقطه‌ی شروع هر فروشنده را ندارد؛ بنابراین، نمی‌توان مستقیماً برای حل مسئله در نظر گرفته شده از آن استفاده کرد.

۲.۲.۳. گام‌های الگوریتم ACO

کروموزوم هر فرد را نمی‌توان مستقیماً به عنوان جواب برای MTSP بیان کرد، زیرا در فرایند ساخت جمعیت اولیه دو بردار تشکیل شده است. فرض کنید در MTSP تعداد فروشنده‌گان و شهرهای مختلف وجود دارد، مراحل زیر برای یافتن جواب امکان‌پذیر برای هر فرد است:

۱. تعداد تکرار الگوریتم را تعیین کنید.

۲. فهرست ممنوعه به نام A و ماتریس فرمون τ_{ij} را در نظر بگیرید. فهرست A شامل شهرهایی است که بازدید شده است. تمامی درایه‌های ماتریس فرمون در ابتداء برابر با یک است.

۳. مورچه روی نقطه‌ی شروع فروشنده قرار داده می‌شود.

۴. مورچه شروع به حرکت به شهر دیگر می‌کند و تصمیم می‌گیرد که بر اساس طول و غلظت فرمون هر مسیر ممکن، به کدام شهر برود. فرض کنید مورچه فعلی در شهر j است و احتمال حرکت به سمت شهر i است. فرمول محاسبه عبارت است از:

$$p_{ij} = \begin{cases} \frac{\tau_{(i,j)}^{\alpha} c_{i,j}^{\beta}}{\sum_{k \notin A} \tau_{(i,j)}^{\alpha} c_{i,k}^{\beta}} & j \notin A \\ 0 & j \in A \end{cases} \quad (2)$$

که در آن τ_{ij} و c_{ij} به معنای غلظت فرمون و طول در مسیر بین شهر i و شهر j است و z_i برابر است با معکوس مسافت از طول مسیر. α و β به ترتیب اهمیت فرمون و طول مسیر را نشان می‌دهند. مورچه‌ی فعلی شهر بعدی را با استفاده از روش چرخ رولت و لیست ممنوعه A به روز می‌کند. پس از مشخص شدن مسیر هر مورچه (فروشنده) در هر تکرار (فروشنده) از روش جستجوی محلی 2-opt استفاده می‌شود و از بین آنها بهترین مسیر به منظور مقایسه‌ی نهایی انتخاب می‌شود. این روش بدین صورت است که به ازای هر تکرار تعدادی فروشنده وجود دارد که ابتداء فروشنده‌ی اول طبق نقطه‌ی شروع و تعداد شهر بازدید شده مشخص شروع به حرکت می‌کند و توالی شهرهای طی شده به صورتی که جای دو شهر و همچینی شهرهای میان دو تابعی بین شهرهای طی شده به صورتی که جای دو شهر و همچینی شهرهای میان آنها تغییر کنند، انجام می‌شود و تابع هدف به ازای مسیر مورچه در هر بار جایه‌جایی تعیین می‌شود و بهترین توالی میان آنها با توجه به مقدار تابع هدف به عنوان بهترین تور آن فروشنده انتخاب می‌شود و سپس مورچه‌ی بعدی شروع به حرکت می‌کند و از همان روش برای انتخاب شهر بعدی استفاده می‌کند.

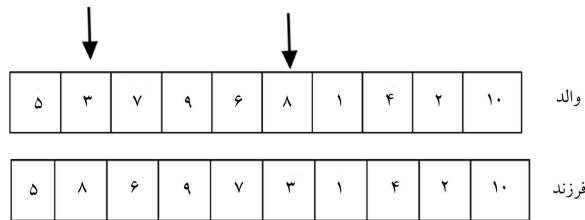
اگر مسیر همه مورچه‌ها (فروشنده‌ان) مشخص شود، ماتریس فرمون به روزرسانی می‌شود. قوانین به روزرسانی به شرح زیر است:

$$\tau(i, j) = (1 - \rho) * \tau(i, j) + \square \tau(i, j) \quad (3)$$

که در آن ρ نرخ تبخیر فرمون را نشان می‌دهد ($0 < \rho < 1$)

$$\square \tau(i, j) = \frac{1}{\sum_{i=1}^m F^{ij}_k} \quad (4)$$

اگر K امین مورچه مسیری را بین شهرهای انتخاب شده باید بگذراند، F^{ij}_k برابر است با مجموع طول مسیر مورچه K و z_j برابر با طول مسیر از شهر j به شهر j است.



شکل ۳. عملگر جهش.

نقاط شکست را بیترین کروموزوم و مشخص شدن تعداد شهری که هر فروشنده باید بازدید کند، ایجاد می‌شود و شهر اول هر بردار (زن اول) به عنوان نقاط شروع هر فروشنده در نظر گرفته می‌شود. این روش تضمین می‌کند که هر شهر فقط باید یک بار به جز شهر شروع توسط فروشنده بازدید شود.

تابع برازنده‌ی: مقدار تابع برازنده‌ی هر کروموزوم نشان‌دهنده‌ی سازگاری افزایش با محیط است و سازگاری بازیزش همبستگی مثبت دارد. تابع برازنده‌ی مورد استفاده در مقاله برگرفته از کل هزینه‌ی فاصله‌ی فروشنده‌گان است. مسافت کوچک نشان‌گر راه حل خوب است و با استعمال زیاد حفظ می‌شود.

مقداردهی اولیه: به منظور مقداردهی اولیه در الگوریتم پیشنهادی مقاله ابتداء طبق الگوریتم PGA و تعداد تکرارهای مشخص مربوط به این الگوریتم و همچنین انجام عملگر جدید جهش که در شکل ۳ نشان داده است، بهترین تور (توالی کل مسیر بدون در نظر گرفتن چند فروشنده) انتخاب می‌شود. در مسئله‌ی MTSP متغیرها به دو قسمت تقسیم شده‌اند. متغیرهای قسمت اول نقاط شروع فروشنده‌گان است در حالی که متغیرهای قسمت دوم توالی شهرهای بازدید شده برای هر فروشنده است. علاوه بر این، فرایند جمعیت اولیه فقط روی متغیرهای قسمت اول متمرکز است. در مرحله‌ی بعدی، تعداد شهرهایی که هر فروشنده بازدید کند از قبل تعیین می‌شود؛ بنابراین، هر فرد دو کروموزوم کسب می‌کند که نقطه‌ی شروع هر فروشنده و تعداد شهرهایی است که فروشنده باید از آنها بازدید کنند. همچنین به اندازه‌ی جمعیت اولیه جفت آرایه‌های هم اندازه (تعداد خانه‌های هر آرایه به اندازه تعداد فروشنده‌ان است) در نظر گرفته می‌شود که یکی از آنها تعداد شهرهای بازدید شده‌ی هر فروشنده و یکی دیگر نقاط شروع هر فروشنده است که این نقاط شروع پس از مشخص شدن تعداد شهر هر فروشنده، توسط بهترین تور تعیین می‌شود. سپس برای دنباله‌ی تعداد شهر و دنباله نقاط شروع عملگر جهش برای ایجاد تنوع در شهرهای شروع و تعداد شهری که هر فروشنده باید بازدید کند بدین صورت که جای دو زن در آرایه با یکدیگر عوض می‌شود، انجام می‌شود.

تعداد شهرهایی که هر فروشنده بازدید می‌کند باید بین n_1 تا n_2 مشخص شود، به صورتی که n_1 و n_2 حد پایین و بالای از تعداد شهرهایی است که هر فروشنده به ترتیب باید بازدید کند. اعداد موجود در دنباله نقاط شروع باید با یکدیگر متفاوت باشند و هر مؤلفه در دنباله شماره‌ی شهر به طور تصادفی از ۱ تا n_1 انتخاب می‌شود. برای پاسخ‌گویی به الزامات مسئله، باید محدودیت‌های زیر رعایت شود:^[1]

۱. تعداد شهری که هر فروشنده باید بازدید کند باید از n_1 بزرگ‌تر و از n_2 کوچک‌تر باشد.

۲. مجموع تعداد شهرهای بازدید شده باید برای n باشد.
بعد از تعیین تعداد شهری که هر فروشنده باید بازدید کند و شهرهای شروع هر فروشنده در k تکرار، به گام‌های الگوریتم ACO بروید.

```

Algorithm IAC-PGA.
Input: The number of city n, natural selection ratio  $\gamma$  ,
distance matrix D, pheromone volatilization rate  $\rho$ , the importance
of pheromone and distance  $\alpha$  and  $\beta$ , ACO steps iteration k ,
maximum iteration No
/PGA steps/
Create random cities sequences
For i=0 to No
Calculate fitness value
Retain the individual with better fitness value on the ratio of  $\gamma$ 
Use the remaining ones with the new mutation operator
End for
Select the best tour among the set of iterations
For i=0 to k
Initialize N pairs of depot and city number sequence for
each ant
Then select the starting point for each ant according to the best
tour
mutation operator on the depot and city number sequence
end for
/ACO steps/
For i=0 to k
Initial pheromone matrix  $\tau$  and tabu list A
Put an ant on each salesman's depot
Update tabu list A
if current ant has finish its tour then
    2-opt local search
    Calculate the objective function of the path of
an ant
    select best tour for ant
    Turn to the next ant
    else
        The next city is chosen according to the
        probability  $p_{ij}$ 
        end if
        until |A| = n
    end for
Update pheromone matrix  $\tau$ 
until The number of iterations reaches k
Get a feasible solution
until Perform ACO steps on each path
    return best solution found
Output: Best solution found

```

شکل ۴. شبیه کد الگوریتم IAC-PGA

جدول ۱. نتایج آزمایش از طریق تغییر پارامترها.

ρ	α	β	eil51	eil76	eil101
۰/۱	۱	۲	۶۹۸	۹۲۴	۱۰۳۲
		۵	۴۹۰	۶۲۷	۸۱۴
		۸	۴۶۶	۶۱۷	۷۶۵
۲	۲	۷۰۲	۱۰۴۷	۱۴۲۷	
	۵	۴۹۳	۶۶۹	۸۱۱	
	۸	۴۵۶	۵۹۷	۷۵۷	
۰/۵	۱	۲	۶۷۸	۱۱۰۵	۱۲۹۸
		۵	۵۱۱	۶۷۵	۸۰۴
		۸	۴۷۶	۶۰۲	۷۶۳
۲	۲	۷۱۵	۱۰۵۱	۱۳۰۴	
	۵	۴۹۳	۶۸۹	۸۴۰	
	۸	۴۹۸	۶۴۵	۷۶۳	
۰/۷	۱	۲	۷۰۹	۹۹۷	۱۳۷۸
	۵	۵۰۹	۶۸۲	۸۶۵	
	۸	۴۹۵	۶۴۲	۷۵۴	
۲	۲	۷۱۰	۱۰۵۱	۱۳۴۵	
	۵	۵۲۳	۶۸۶	۸۵۴	
	۸	۴۹۷	۶۱۹	۸۴۹	

جدول ۲. تنظیم پارامتر.

پارامتر	مقدار
اندازه‌ی جمعیت	۱۰۰
IAC-PGA, AC-PGA تعداد تکرار	۱۰۰
ρ	۰/۱
α	۲
β	۸
$\gamma(PGA)$	۰/۵

اگر تعداد تکرارهای الگوریتم تمام شود، مراحل الگوریتم ACO متوقف می‌شود و یک راه حل بهینه برای MTSP به دست می‌آید. شبیه کد IAC-PGA در شکل ۴ آورده شده است.

۴. نتایج محاسباتی

در این بخش، تعداد زیادی از نمونه‌ها (در اندازه کوچک و اندازه بزرگ) برای مقایسه مسئله MTSP با الگوریتم‌های ABC، IWO [۱۵] و الگوریتم هیبریدی IAC-PGA [۱۶] و همچنین الگوریتم هیبریدی بهبودیافته در این مقاله به نام IAC-PGA ارائه شده است. مسافت بین شهرها به صورت اقلیدسی محاسبه شده است. شبیه‌سازی این الگوریتم‌ها توسط MATLAB R۲۰۱۷a در یک رایانه CPU ۲/۲۰۰ GHz Inter(R) Core(TM) CPU ۲۲۳۰-۲۳۳۰ M ۴GB حافظه‌ی ۴GB کدگذاری شده است.

۱.۴. تنظیم پارامتر IAC-PGA برای MTSP

برای تنظیم پارامترهای ACO به منظور عملکرد بهتر، مقادیر مورد بررسی از منابع موجود [۱۳] اقتباس شده است. برای آزمایش شرایط مختلف الگوریتم باید اندازه پارامترها در چندین مقدار در نظر گرفته شود جدول ۱: α : حد وسط آن ($5/0$) و حد پایین ($1/0$) تنظیم شده است و این سه وضعیت این موضوع را نشان می‌دهد که باقی مانده‌ی فرومون به ترتیب با سرعت کند، متوسط و سریع تبخر می‌شود. α : در مقدارهای ۱ و ۲ تنظیم شده است، در حالی که β در مقادیر ۲، ۵ و ۸ تنظیم شده است.

ازداده‌های eil51, eil76, eil101 (دارای ۱۰۱ و ۷۶ و ۱۰۱ شهر) در آزمون‌های مقایسه برای تنظیم پارامتر استفاده شده است. بعد از انجام برخی آزمایش‌های اولیه، اندازه جمعیت 10^0 در نظر گرفته شده است. با ترکیب تنظیمات گفته شده در بالا $5/4$ ستاریو به دست می‌آید که برای عملکرد الگوریتم IAC-PGA مورد بررسی قرار گرفته است. برای هر ستاریو، تعداد فروشنده‌گان برابر ۴ قرار داده شده است و سپس 5^0 مرتبه الگوریتم اجرا می‌شود. همان طور که در جدول ۲ نشان داده شده است، نتایج با $\beta = 8$ نسبت به ستاریوهای دیگر بهتر است. هنگامی که نمونه با تعداد شهر کم (eil51) اجرا می‌شود، فاصله‌ی کمی بین نتایج وجود دارد؛ اما با افزایش اندازه داده‌ها، تفاوت بین نتایج به دست آمده در پارامترهای مختلف بیشتر می‌شود. بنابراین به نظر می‌رسد $\alpha = 2$ و $\beta = 8$ بهترین ترکیب برای MTSP است و تنظیم پارامترها در الگوریتم‌ها، در جدول ۲ نشان داده شده است.

۲.۴. یک آزمایش مقایسه‌ی در الگوریتم‌های مختلف

در این بخش، الگوریتم‌های AC-PGA و IAC-PGA را برای مسئله فروشنده دوره‌گرد چندگانه با 10^0 شهر، ۵ فروشنده، کمیته و بیشینه تعداد شهرها که به ترتیب ۱۵ و 3^0 هستند، آزمایش می‌شود. IAC-PGA در حال حاضر پس از تعداد معینی از تکرارها، به حالت همگرایی پایدار رسیده است (نمایش در شکل ۵). وابستگی بین کارایی الگوریتم پیشنهادی و انتخاب نقطه‌ی اولیه وجود ندارد و از این رو الگوریتم جدید توانایی جستجوی بالاتری برای حل MTSP دارد.

در اشکال ۶ و ۷، مسیرهای هر فروشنده با پارامترهای یکسان برای دو الگوریتم به

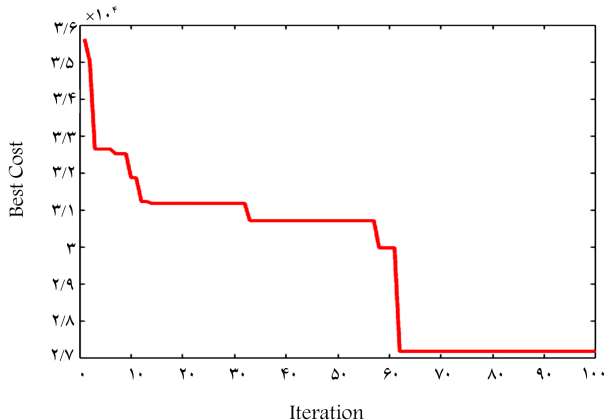
جدول ۳. نتایج در الگوریتم های متفاوت.

	زمان حل (ثانیه)	مسافت کل (تابع هدف)	الگوریتم
PGA	۴۴۹۰۴	۲۸۲	
IPGA	۳۷۸۱۷	۲۶۸	
AC-PGA	۲۹۰۷۲	۲۵۲	
IAC-PGA	۲۷۰۲۵	۶/۸۷	

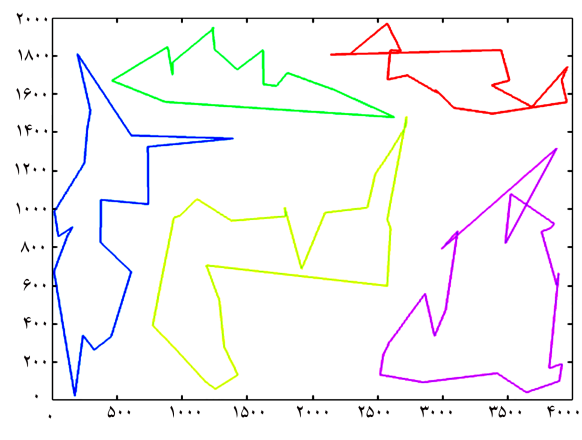
۳.۴. نتایج برای تعداد مختلف فروشندهان و تعداد شهرها

در مرحله‌ی بعدی، به بررسی تأثیر تعداد شهرها بر جواب پرداخته می‌شود و نتایج آزمایش سه الگوریتم با یکدیگر مقایسه می‌شوند. برای تجزیه و تحلیل نمونه‌های آزمایشی، الگوریتم IAC-PGA برای هر نمونه ۱۰ بار اجرا می‌شود. به منظور انجام آزمایش‌ها، تعداد تکرار و پارامترها در جدول ۳ آورده شده است. تعداد کمینه شهرهایی که هر فروشنده باید از آن بازدید کند برابر است با $(M + 1) / N$ [۱۶] و بیشینه تعداد آن برابر $M - 1$ است. با افزایش تعداد شهرها، پیچیدگی این مسئله به سرعت افزایش می‌یابد. از آن‌جا که در مقاله‌ی جیانگ [۱۶] شش الگوریتم موجود از لحاظ کیفیت جواب بررسی شده است، نتایج دو الگوریتم برتر با تعداد مختلف فروشندهان و شهرها در جدول ۴ گزارش شده است. نتایج برای الگوریتم‌های ABC و AC-PGA از مرجع [۱۶] به صورت مستقیم آورده شده است و الگوریتم پیشنهادی مقاله با همان داده‌ها و پارامترهای یکسان نمونه‌ها حل شده است. در جدول ۴، الگوریتم IAC-PGA در ۴ ستون که به ترتیب بهترین جواب، میانگین جواب، واریانس و متوسط زمان حل است، آورده شده است. نتایج نهایی از الگوریتم IAC-PGA با میانگین نتایج حاصل از دیگر الگوریتم‌ها مقایسه شده است. نتایج به دست آمده توسط الگوریتم‌های مختلف در مرور شهرهای کم‌تر بسیار نزدیک به یکدیگر است. با این حال، با افزایش تعداد شهرها، توانایی جستجوی سایر الگوریتم‌ها بسیار کاهش می‌یابد. در جدول ۴ میان سه الگوریتم در ۳۶ ستاریوی موجود، جواب بهتر به صورت پرینگ نمایش داده شده است که در ۳۱ ستاریو، الگوریتم پیشنهادی مقاله جواب بهتر را به دست می‌آورد و چون بین سه الگوریتم برترین نتایج حاصل شده است، بنابراین میان تمامی الگوریتم‌های موجود در ادبیات موضوع، برتری الگوریتم نوشтар حاضر نشان‌دهنده‌ی مناسب بودن الگوریتم IAC-PGA برای مسئله‌ی فروشنده‌ی دوره‌گرد چندگانه است. در شکل ۸ به عنوان مثال ۲ نمودار به منظور مقایسه از نمونه‌های متفاوت با اندازه تعداد شهر و تعداد فروشندهان مختلف ترسیم شده است و به ازای دیگر نمونه‌ها اعداد حل نمونه به صورت کامل در جدول ۴ آورده شده است.

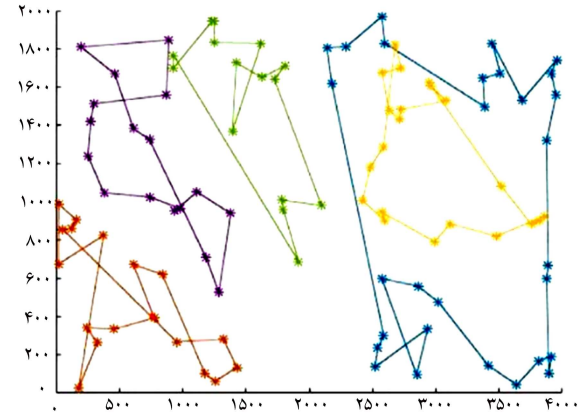
مشاهده می‌شود که الگوریتم پیشنهادی در هنگام بزرگ بودن تعداد شهرها از مزایای بسیار خوبی در یافتن جواب برخوردار است. به منظور مقایسه دو الگوریتم IAC-PGA، AC-PGA به نام‌های IAC-PGA، IPGA، IWO، TWPS، PGA از مقاله جیانگ [۱۶] آمده است، بهبود میان جواب هر کدام از آن دو الگوریتم برتر و بهترین جواب میان ۵ الگوریتم دیگر محسنه شده است: در جدول ۵ میزان بهبود به صورت درصد آورده شده است. درصدهای حساب شده بهبود میان بهترین میانگین پنج الگوریتم (۵ الگوریتم مقاله جیانگ به نام‌های IAC-PGA، IPGA، IWO، TWPS، PGA) در مرجع [۱۶] آمده است. الگوریتم AC-PGA و AC-PGA IAC-PGA است. به ازای هر تعداد شهر مختلف دو سطر داده وجود دارد که سطر اول مربوط به میزان بهبود الگوریتم AC-PGA که اعداد مستقیم از مقاله جیانگ [۱۶] استخراج شده و سطر دوم مربوط به الگوریتم IAC-PGA است.



شکل ۵. همگرانی الگوریتم IAC-PGA



شکل ۶. IAC-PGA

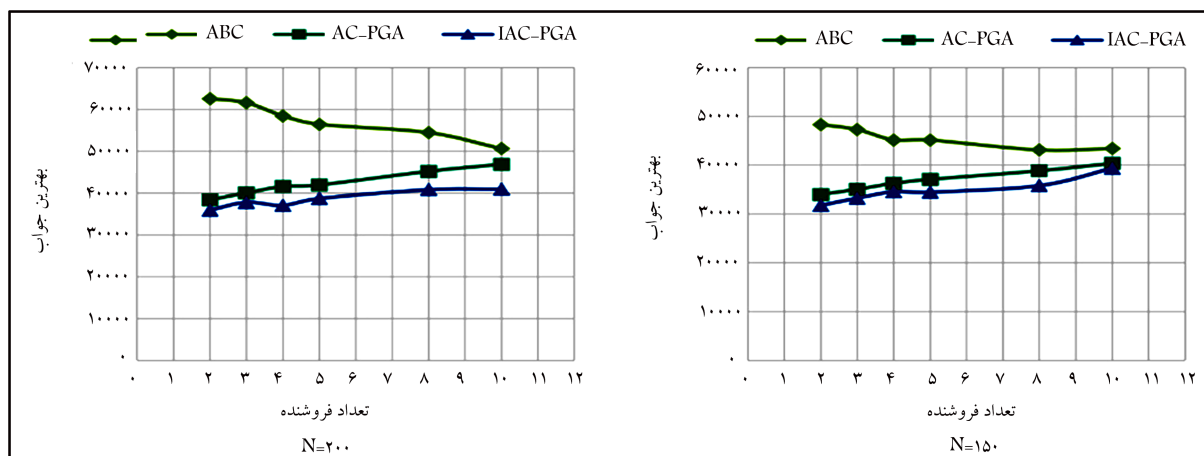


شکل ۷. حل یک نمونه [۱۶]

عنوان نقشه مسیر ارائه شده است. نقشه‌ی مسیر الگوریتم AC-PGA در مرجع [۱۶] آورده شده است. نتایج الگوریتم‌ها در جدول ۳ نشان داده شده است. بدین‌جهت است که الگوریتم جدید می‌تواند نتایج بهتری کسب کند و بدین معنی است که الگوریتم IAC-PGA نسبت به الگوریتم AC-PGA [۱۶] راندمان بالاتری برای MTSP دارد. نقشه‌ی مسیرهای فروشنده‌ها برای دو الگوریتم نشان می‌دهد که الگوریتم AC-PGA نسبت به الگوریتم IAC-PGA تداخل بیشتری در تورها دارد که در نهایت باعث ایجاد مسیر طولانی تر می‌شود و عدم تداخل تورهای IAC-PGA منجر به جواب‌های بهتر شده است.

جدول ۴. نتایج الگوریتم های متفاوت.

n	m	ABC			AC-PGA			IAC-PGA			متوسط زمان حل (ثانیه)
		بهترین جواب	میانگین	واریانس	بهترین جواب	میانگین	واریانس	بهترین جواب	میانگین	واریانس	
۵۱	۲	۴۸۲	۴۹۰	۱۰,۴	۴۵۷	۴۷۴	۱۱۰	۴۵۶	۴۶۲	۹,۸	۳,۰۴
	۳	۴۷۵	۴۸۹	۹,۷	۴۶۷	۴۸۶	۹,۵	۴۸۱	۴۹۰	۱,۴	۲,۵۴
	۴	۴۷۷	۴۸۵	۱۱,۶	۴۷۳	۴۹۲	۱۱,۶	۵۰۷	۵۲۶	۹,۳	۲,۳۶
	۵	۴۷۴	۴۸۶	۱۱,۹	۴۸۸	۴۹۷	۱۰,۵	۵۱۲	۵۲۳	۸,۵	۲,۲۷
	۸	۴۷۰	۴۸۱	۱۲,۱	۵۲۱	۵۳۰	۱۱,۵	۵۱۱	۵۲۵	۸,۱	۲,۱۶
	۱۰	۴۷۲	۴۷۹	۱۱,۱	۵۳۲	۵۴۶	۸,۹	۴۹۷	۵۲۱	۹,۲	۱,۹۳
۱۰۰	۲	۳۰۸۱۶	۳۳۲۴۸	۱۰۶,۸	۲۶۹,۰	۲۷۵۱۹	۴۹۳,۳	۲۳۵۸۵	۲۴۴۴۲	۴۷۵,۱	۹,۰۲
	۳	۳۰۱۳۷	۳۲۳۸۷	۹۴۰,۵	۲۶۴۱۶	۲۷۳۶۶	۵۷۴,۳	۲۵۷۶۵	۲۵۹۸۷	۳۱۶,۵	۷,۷۸
	۴	۳۰۵۳۹	۳۱۷۰۲	۷۵۳,۵	۲۷۳۲۲	۲۸۲۷۵	۶۲۲,۱	۲۶۸۸۱	۲۷۴۷۵	۴۵۳,۸	۷,۷۵
	۵	۲۹۷۷۲	۳۰۸۸۲	۷۲۲,۹	۲۸۷۵۹	۲۹۶۰۰	۶۲۲,۴	۲۷۰۲۵	۲۷۷۰۹	۵۳۲,۹	۶,۰۷
	۸	۲۸۶۲۶	۲۹۵۳۶	۹۴۴,۸	۲۱۳۲۲	۳۱۹۷۱	۶۱۷,۶	۲۸۵۷۹	۲۸۸۷۶	۳۴۲,۸	۶,۱۵
	۱۰	۲۸۹۶۶	۲۹۱۵۶	۹۲۱	۲۱۲۱۲	۳۲۲۹۳	۶۵۳,۷	۲۹۹۶۰	۳۰۹۷۶	۵۴۳,۷	۶,۰۱
۱۵۰	۲	۴۸۳۲۴	۵۰۷,۰	۱۲۹۲,۹	۳۲۹۸۷	۳۴۹۲۳	۷۳۲,۴	۳۱۷۸۵	۳۱۹۸۷	۵۴۱,۲	۲۲,۳۶
	۳	۴۷۳۱۰	۴۹۵۸۵	۱۳۷۹,۳	۳۵۰,۵۳	۳۶۰۴۱	۵۴۵,۲	۳۲۲۳۷	۳۴۵۴۳	۲۲۱,۴	۱۸,۹۷
	۴	۴۵۱۶۵	۴۸۴۷۵	۱۲۶۱,۳	۳۶۲۹۲	۳۷۶۸۷	۵۷۴,۹	۳۴۵۵۲	۳۵۰۱۲	۴۳۲,۵	۱۷,۱۰
	۵	۴۵۱۶۳	۴۶۹۵۸	۱۳۰۲,۶	۳۷۱,۰	۳۷۸۷۹	۵۴۲,۹	۳۴۴۵۱	۳۵۹۸۷	۲۲۱,۵	۱۴,۷۱
	۸	۴۲۱۲۴	۴۴۳۸۱	۹۴۴,۷	۳۸۸۶۲	۴۰۹۴۲	۱۲۸۸,۲	۳۵۷۹۰	۳۶۲۱۴	۵۴۳,۲	۱۳,۰۷
	۱۰	۴۲۳۴۲۲	۴۵۴۸۶	۱۲۷۲,۷	۴۰۳۹۶	۴۲۰۳۶	۱۲۹۶,۶	۳۹۳۵۴	۴۰۲۳۸	۶۰۴,۱	۱۳,۹۶
۲۰۰	۲	۶۲۵۷۳	۶۴۹۲۰	۱۰۴۸,۷	۲۸۳۸۹	۳۹۷۸۸	۵۴۸,۷	۳۵۹۰۸	۳۶۶۱۷	۲۴۷,۵	۴۱,۰۴
	۳	۶۱۶۱۲	۶۳۲۵۷	۸۷۱,۹	۴۰۰۳۹	۴۱۴۱۶	۷۱۰,۷	۳۷۷۷۷	۳۸۳۱۳	۴۰۶,۴	۳۳,۳۱
	۴	۵۸۴۴۷	۶,۶۴۴	۱۱۶۲,۳	۴۱۶,۰	۴۲۴۲۲	۵۲۱,۲	۳۷۰۱۱	۳۸۴۲۵	۴۸,۵	۲۹,۴۱
	۵	۵۵۴۳۷	۵۸۳۵۸	۱۲۷۶,۸	۴۱۹۴۸	۴۲۹۳۴	۶۱۷,۲	۳۸۶۷۸	۳۹۲۲۴	۴۵۶,۷	۲۶,۱۹
	۸	۵۴۴۶۴	۵۶۰۸۸	۱۴۰۷,۵	۴۵۲۰۱	۴۶۸۹۶	۷۷۹,۶	۴۰۸۰۲	۴۱۲۱۳	۶۳۶,۵	۲۷,۴۲
	۱۰	۵۰۶۳۰	۵۳۵۱۹	۱۵۶۴,۴	۴۶۸۷۶	۴۷۷۲۱	۶۵۷,۹	۴۰۹۲۲	۴۱۸۳۵	۴۳۲,۶	۲۲,۶۷
۲۲۵	۲	۸۰۶۴	۹۱۱۲	۲۹۴,۱	۵۲۸۰	۵۳۷۳	۴۹,۲	۴۸۰۳	۴۸۷۶	۴۳,۲	۴۷,۸۵
	۳	۷۹۳۱	۸۴۰۹	۲۵۲,۸	۵۴۱۵	۵۵۷۴	۷۰,۸	۵۰۰۱	۵۰۱۳	۵۶,۴	۳۹,۶۴
	۴	۷۷۱۶	۷۹۸۲	۱۴۹,۱	۵۵۹۸	۵۶۶۳	۹۰,۹	۵۰۱۳	۵۰۸۷	۵۶,۷	۳۶,۲۶
	۵	۷۷۱۰	۷۶۷۷	۲۲۳,۷	۵۵۶۹	۵۷۴۱	۱۰۲,۹	۵۱۰۵	۵۱۲۴	۶۷,۸	۳۳,۸۲
	۸	۶۷۱۳	۷۱۶۳	۱۸۰,۶	۵۸۵۰	۶۰۰۲	۱۰۵,۰	۵۰۲۸	۵۱۹۸	۷۶,۵	۳۲,۰۷
	۱۰	۶۵۸۲	۶۹۴۹	۱۵۲,۷	۵۹۶۷	۶۱۸۴	۱۰۵,۰	۵۳۵۲	۵۴۷۵	۴۳,۲	۳۶,۱۴
۲۸۰	۲	۶۶۴۳	۶۹۳۸	۱۷۹,۲	۳۵۳۱	۳۶۲۴	۶۶,۹	۳۲۲۵	۳۴۳۲	۵۴,۳	۷۰,۴۴
	۳	۶۶۱۴	۶۶۵۹	۱۳۹,۳	۳۶۶۴	۳۷۵۳	۴۹,۹	۳۲۹۸	۳۴۵۳	۳۴,۵	۶۱,۸۰
	۴	۶۰۵۷	۶۳۱۰	۱۶۰,۸	۳۷۰۴	۳۸۲۸	۷۵,۶	۳۳۶۶	۳۴۵۳	۴۵,۶	۵۳,۴۹
	۵	۵۹۱۰	۶۱۱۲	۱۲۰,۸	۳۸۹۰	۳۹۸۳	۶۸,۱	۳۴۶۳	۳۵۷۶	۵۳,۴	۵۱,۲۳
	۸	۵۵۰۳	۵۶۶۹	۹۸,۴	۴۲۸۳	۴۳۸۱	۶۳,۴	۳۶۶۰	۳۷۲۱	۳۴,۶	۵۰,۲۱
	۱۰	۵۳۳۷	۵۴۹۳	۱۰۹,۶	۴۳۵۷	۴۴۳۵	۶۶,۱	۳۸۳۰	۳۷۲۳	۴۳,۲	۴۹,۸۱



شکل ۸. جواب‌های الگوریتم‌های متفاوت.

جدول ۵. بهبود الگوریتم.

الگوریتم	AC - PGA						IAC - PGA					
	۲	۳	۴	۵	۸	۱۰	۲	۳	۴	۵	۸	۱۰
۵۱	-۴/۹	-۰/۹۱	-۱/۴۲	-۲/۲۳	-۹/۱۹	-۱۲/۱۸	-۲/۵	-۱/۸۴	-۴/۸	-۷/۷	-۷	-۸/۳
	۱۲/۵	۱۳/۴۹	۱۸/۳۵	۱۰/۸۱	۴/۱۵	۷/۶۱	۱۹/۳	۱۳/۴۹	۱۸/۳۵	۱۰/۸۱	۷/۶۱	۹/۸۴
۱۰۰	۱۹/۳	۲۴/۶۲	۱۵/۶۲	۱۵/۳	۲/۲۸	۵/۸	۳۱/۱۳	۲۷/۳	۲۲/۲۶	۱۹/۷۶	۵/۷۰	۳/۶۱
	۳۶/۹۰	۳۰/۰۳	۲۷/۷	۲۳/۳۶	۱۰/۱۱	۱۱/۵	۴۳/۵۰	۳۴/۵۳	۳۰/۰۵	۲۶/۴۳	۱۶/۲۷	۱۰/۸۳
۱۵۰	۳۶/۹۰	۳۰/۰۳	۲۷/۷	۲۳/۳۶	۱۰/۱۱	۱۱/۵	۴۳/۵۰	۳۹/۵	۳۶/۶	۳۲/۷۷	۲۶/۵۲	۲۲/۶۷
	۲۸/۸۳	۲۴/۵۳	۳۰/۰۵	۲۶/۴۳	۱۶/۲۱	۱۱/۳۵	۴۱/۰۳	۳۳/۷۱	۲۹/۰۶	۲۵/۲۰	۱۶/۲۱	۱۱/۳۵
۲۰۰	۴۳/۵۰	۳۹/۵	۳۶/۶	۳۲/۷۷	۲۷/۴۳	۲۲/۶۷	۴۶/۴۸	۴۰/۳۸	۳۶/۲۶	۲۳/۲۵	۲۷/۴۳	۲۱/۲۱
	۴۷/۷۷	۴۳/۴۶	۳۹/۳۴	۳۴/۸۳	۲۲/۷۲	۱۹/۲۶	۵۰/۵۳	۴۸/۱۴	۴۴/۵۴	۳۹/۲۴	۲۴/۳۶	۳۰/۲۷
۲۲۵	۴۶/۴۸	۴۰/۳۸	۳۶/۲۶	۲۳/۲۵	۱۶/۲۱	۱۱/۳۵	۴۱/۰۳	۳۳/۷۱	۲۹/۰۶	۲۵/۲۰	۱۶/۲۱	۱۱/۳۵
	۴۷/۷۷	۴۳/۴۶	۳۹/۳۴	۳۴/۸۳	۲۲/۷۲	۱۹/۲۶	۵۰/۵۳	۴۸/۱۴	۴۴/۵۴	۳۹/۲۴	۲۴/۳۶	۳۰/۲۷
۲۸۰	۴۸/۱۴	۴۴/۵۴	۴۴/۵۴	۳۹/۲۴	۲۴/۳۶	۱۹/۲۶	۵۰/۵۳	۴۸/۱۴	۴۴/۵۴	۳۹/۲۴	۲۴/۳۶	۳۰/۲۷
	۵۰/۵۳	۴۸/۱۴	۴۴/۵۴	۳۹/۲۴	۲۴/۳۶	۱۹/۲۶	۴۷/۷۷	۴۳/۴۶	۳۹/۳۴	۳۴/۸۳	۲۲/۷۲	۱۹/۲۶

مختلف به وجود آمده در نمونه‌های متفاوت، در ۳۳ مورد الگوریتم پیشنهادی دارای بهبود بیشتر بوده است. آزمون غیر پارامتری فریدمن (Friedman) به منظور رتبه‌بندی الگوریتم‌ها و همچنین برای وجود تفاوت معناداری میان آنها با سطح اطمینان ۹۵٪ انجام شده است. چنان‌که نشان دهنده‌ی میزان تابع هدف بهتر برای الگوریتم IAC-PGA است که نشان دهنده‌ی میزان تابع هدف بهتر برای الگوریتم AC-PGA است. در ۳۳ سناریو دارای بهبود بوده است که کاهی به بیش از ۱۴ درصد نیز رسیده است. این هر دو عدد بهارای هر تعداد شهر و تعداد فروشنده، عدد بزرگ‌تر (بهبود بیشتر) به صورت پرنگ نمایش داده شده است. چنان‌که مشاهده می‌شود از ۳۶ سناریوی

همچنین به منظور مقایسه‌ی دو الگوریتم، نسبت الگوریتم AC-PGA به IAC-PGA و همچنین میزان بهبود الگوریتم پیشنهادی در جدول ۵ نشان داده شده است. چنان‌که مشاهده می‌شود در ۳۳ مورد این نسبت کمتر از ۱ شده است که نشان دهنده‌ی میزان تابع هدف بهتر برای الگوریتم IAC-PGA است. در ۳۳ سناریو دارای بهبود بوده است که کاهی به بیش از ۱۴ درصد نیز رسیده است. بین هر دو عدد بهارای هر تعداد شهر و تعداد فروشنده، عدد بزرگ‌تر (بهبود بیشتر) به صورت پرنگ نمایش داده شده است. چنان‌که مشاهده می‌شود از ۳۶ سناریوی

جدول ۷. رتبه‌بندی الگوریتم.

الگوریتم	Mean Rank
ABC	۲/۸۱
IAC-PGA	۱/۵۶
PGA	۵/۷۲
IPGA	۴/۲۸
TWPS	۷/۰۰
IWO	۴/۳۳
AC-PGA	۲/۲۱

جدول ۸. نتایج تحلیل آمار.

N	۳۶
Chi-Square	۱۷۳/۰۱۲
df	۶
Asymp. Sig	۰/۰۰۰

جدول ۹. نتایج ۱۰۰۰ شهر.

الگوریتم موجود در مقاله			
n	m	IAC – PGA	زمان (ثانیه)
۱۰۰۰	۲	۲۵۳۶۷۵۹۵	۱۳۴۴/۷
	۳	۲۵۶۲۹۲۶۹	۱۱۲۲/۱۴
	۴	۲۵۳۰۱۷۰۷	۸۸۱/۹
	۵	۲۵۵۲۶۹۵۴	۸۲۳/۴
	۸	۲۶۹۲۱۷۰۷	۷۲۱/۹۸
	۱۰	۲۶۵۹۷۹۷۷۲	۷۱۰/۱۴

مقدار p-value زیر ۰/۰۵ است و این نشان دهنده تفاوت معنادار میان میانگین الگوریتم هاست.

همچنین برای اولین بار برای تعداد ۱۰۰۰ شهر و تعداد فروشنده‌گان مختلف این الگوریتم اجرا شده و نتایج آن در جدول ۹ آمده است. این نتایج نشان می‌دهد که با توجه به بزرگ بودن ابعاد مسئله، الگوریتم توانسته است در زمان معقولی به جواب موجه برسد. از آنجا که در مقاله تا ۲۸۰ شهر بررسی شده است، تابع هدف موجود برای ۱۰۰۰ شهر بدون درصد بهبود آورده شده است.

۵. نتیجه‌گیری

در این مقاله، یک الگوریتم ترکیبی بهبودیافته به نام IAC-PGA با ترکیب PGA، برای حل مؤثر مسئله MTSP در مقیاس بزرگ طراحی شده است. دو نکته‌ی مهم وجود دارد: اول این که الگوریتم PGA وابستگی زیادی به مقدار جمعیت اولیه دارد و پس از ایجاد جمعیت اولیه، MTSP در مقیاس بزرگ را به طور مؤثر نمی‌تواند حل کند. دیگر این که ACO قادر به تعیین نقاط شروع فروشنده‌ها نیست. IAC-PGA یک الگوریتم دو مرحله‌یی است. در مرحله‌ی اول، ابتدا با توجه به الگوریتم زئیک بهترین تور تشکیل شده با استفاده از معیار تابع برازنده‌گی انتخاب و سپس به صورت تصادفی تعداد شهر بازدید شده توسط هر فروشنده تعیین می‌شود. سپس نقطه‌ی شروع هر فروشنده با استفاده از بهترین تور از طریق PGA تعیین

جدول ۶. مقایسه‌ی دو الگوریتم.

الگوریتم						
n	m	AC-PGA	IAC-PGA	نسبت	میزان بهبود	
۵۱	۲	۴۵۷	۴۵۶	۰,۹۹۷	۰,۲	
	۳	۴۶۷	۴۸۱	۱,۰۲۹	-۲	
	۴	۴۷۳	۵۰۷	۱,۰۷	-۷,۱	
	۵	۴۸۸	۵۱۲	۱,۰۴۹	-۴,۹	
	۸	۵۲۱	۵۱۱	۰,۹۸	۱,۹۱	
	۱۰	۵۳۲	۴۹۷	۰,۹۳	۶,۵۷	
۱۰۰	۲	۲۶۹۰۲	۲۳۵۸۵	۰,۸۷	۱۲,۳۲	
	۳	۲۶۴۱۶	۲۵۷۶۵	۰,۹۷	۲,۴۶	
	۴	۲۷۳۲۲	۲۶۸۸۱	۰,۹۸	۱,۶۱	
	۵	۲۸۷۵۹	۲۷۰۲۵	۰,۹۳	۶,۰۲	
	۸	۳۱۳۲۲	۲۸۵۷۹	۰,۹۱	۱,۷۸	
	۱۰	۳۱۲۱۲	۲۹۹۶۰	۰,۹۵	۴,۰۱	
۱۵۰	۲	۳۳۹۸۶	۲۱۷۴۵	۰,۹۳	۶,۵	
	۳	۳۵۰۵۳	۳۲۲۲۷	۰,۹۴	۵,۱	
	۴	۳۶۲۹۲	۳۴۵۰۲	۰,۹۵	۴,۷۹	
	۵	۳۷۱۰۲	۳۴۴۵۱	۰,۹۲	۷,۱	
	۸	۳۸۸۶۲	۳۵۷۹۰	۰,۹۲	۷,۹	
	۱۰	۴۰۳۹۶	۳۹۳۵۴	۰,۹۷	۲,۵	
۲۰۰	۲	۳۸۳۸۹	۳۵۹۰۸	۰,۹۳	۶,۴	
	۳	۴۰۰۳۹	۳۷۷۷۷	۰,۹۴	۵,۶	
	۴	۴۱۶۰۲	۳۷۰۱۱	۰,۸۸	۱۱,۰۳	
	۵	۴۱۹۴۸	۳۸۶۷۸	۰,۹۲	۷,۷	
	۸	۴۵۲۰۱	۴۰۸۰۲	۰,۹۰	۹,۷	
	۱۰	۴۶۸۷۶	۴۰۹۲۲	۰,۸۷	۱۲,۷	
۲۲۵	۲	۵۲۸۰	۴۸۰۳	۰,۹۰	۹,۰۳	
	۳	۵۴۱۵	۵۰۰۱	۰,۹۲	۷,۶	
	۴	۵۵۹۸	۵۰۱۳	۰,۸۹	۱۰,۴	
	۵	۵۵۶۹	۵۱۰۵	۰,۹۱	۸,۳	
	۸	۵۸۵۰	۵۰۲۸	۰,۸۵	۱۴,۰۵	
	۱۰	۵۹۶۷	۵۳۵۲	۰,۸۹	۱۰,۷	
۲۸۰	۲	۳۵۳۱	۲۲۲۵	۰,۹۱	۸,۶	
	۳	۳۶۶۴	۳۲۹۸	۰,۹	۱۰,۲	
	۴	۳۷۰۴	۳۳۶۶	۰,۹	۹,۱	
	۵	۳۸۹۰	۳۴۶۳	۰,۸۹	۱۰,۹	
	۸	۴۲۸۳	۳۶۶۰	۰,۸۵	۱۴,۵	
	۱۰	۴۳۵۷	۳۸۳۰	۰,۸۷	۱۲,۰۲	

داشته است؛ بنابراین، از دیدگاه فاصله سفر، می‌توان نتیجه گرفت که IAC-PGA در مقایسه با برخی الگوریتم‌های شناخته شده‌ی فرالبتکاری، عملکرد بهتری دارد. همچنین مقایسه‌ی میان کارایی دو الگوریتم IAC-PGA و AC-PGA صورت گرفته است و نتایج برتری الگوریتم پیشنهادی مقاله را نشان می‌دهد. به منظور پیشنهادات آنی می‌توان گفت عمدتاً MTSP به صورت هدف واحد در نظر گرفته می‌شود، بنابراین می‌توان الگوریتم پیشنهادی را به صورت چندهدفه برای مسئله‌ی MTSP توسعه داد. در نظر گرفتن پنجره‌ی زمانی برای هر شهر و محاسبه‌ی میزان زود کرد و دیر کرد یکی دیگر از مسائل جذاب است که در دنیای واقعی نیز بسیار کاربرد دارد. از آنجا که ممکن است فروشنده‌گان هزینه‌های مختلفی داشته باشند، امکان انتخاب تعداد فروشنده بر اساس کمینه‌سازی هزینه می‌تواند در زندگی روزمره اهمیت بسیاری داشته باشد.

می‌شود. در این مرحله از یک نوع جهش مؤثر برای تعداد شهرها برای هر فروشنده به منظور راه حل‌های بهتر ایجاد شده است. الگوریتم ACO در مرحله‌ی دوم برای شناسایی کوتاه‌ترین مسیر هر فروشنده و سپس به دست آوردن یک راه حل بهینه با استفاده از روش جستجوی محلی 2-opt برای مسئله استفاده می‌شود. در اینجا هدف مقایسه‌ی عملکرد الگوریتم IAC-PGA با وجود کارآمدترین پارامتر و پنج الگوریتم فرالبتکاری دیگر است که تاکنون در ادبیات موضوع وجود داشته‌اند. تعداد مختلفی از شهرها و تعداد متفاوتی از فروشنده‌گان در این تحلیل در نظر گرفته شده است. نتایج به دست آمده توسط الگوریتم IAC-PGA به طور قابل توجهی بهتر از نتایج به دست آمده توسط سایر الگوریتم‌ها در صورت وجود مسائل در مقیاس بزرگ است. از ۳۶ نمونه معیار موجود جواب به دست آمده توسط الگوریتم توسعه یافته در مقایسه با الگوریتم‌های دیگر، ۳۲ نمونه معیار بهبود قابل توجهی

پانوشت‌ها

- traveling salesmen problem
- multiple traveling salesman problem
- improvemed ant colony-partheno genetic algorithm

منابع (References)

- Held, M., et al., "Aspects of the traveling salesman problem." *IBM journal of Research and Development*, **28**(4), pp. 476-486 (1984).
- Gouveia, L., Leitner, M. and Ruthmair, M. "Extended formulations and branch-and-cut algorithms for the black-and-white traveling salesman problem." *European Journal of Operational Research*, **262**(3), pp. 908-928 (2017).
- Asadpour, A., et al. "An O ($\log n/\log \log n$)-approximation algorithm for the asymmetric traveling salesman problem." *Operations Research*, **65**(4), pp. 1043-1061 (2017).
- Maity, S., Roy, A. and Maiti, M. "An imprecise multi-objective genetic algorithm for uncertain constrained multi-objective solid travelling salesman problem." *Expert Systems With Applications*, **46**, pp.196-223 (2016).
- Nagata, Y. and Soler, D. "A new genetic algorithm for the asymmetric traveling salesman problem." *Expert Systems with Applications*, **39**(10), pp. 8947-8953 (2012).
- Choong, S.S., Wong, L.-P. and Lim, C.P. "An artificial bee colony algorithm with a modified choice function for the traveling salesman problem." *Swarm and Evolutionary Computation*, **44**, pp. 622-635 (2019).
- Khan, I. and Maiti, M.K. "A swap sequence based artificial bee colony algorithm for traveling salesman problem." *Swarm and Evolutionary Computation*, **44**, pp. 428-438(2019).
- Chen, S.-M. and Chien, C.-Y. "Parallelized genetic ant colony systems for solving the traveling salesman problem." *Expert Systems with Applications*, **38**(4), pp. 3873-3883 (2011).
- Escario, J.B., Jimenez, J.F. and Giron-Sierra, J.M. "Ant colony extended: experiments on the travelling salesman problem." *Expert Systems with Applications*, **42**(1), pp. 390-410 (2015).
- Osaba, E., et al. "A discrete water cycle algorithm for solving the symmetric and asymmetric traveling salesman problem." *Applied Soft Computing*, **71**, pp. 277-290 (2018).
- Zhong, Y., et al. "Discrete comprehensive learning particle swarm optimization algorithm with metropolis acceptance criterion for traveling salesman problem." *Swarm and Evolutionary Computation*, **42**, pp. 77-88 (2018).
- Ezugwu, A.E.-S., Adewumi, A.O. and Frincu, M.E. "Simulated annealing based symbiotic organisms search optimization algorithm for traveling salesman problem." *Expert Systems with Applications*, **77**, pp. 189-210 (2017).
- Yuan, S., et al. "A new crossover approach for solving the multiple travelling salesmen problem using genetic algorithms." *European Journal of Operational Research*, **228**(1), pp. 72-82 (2013).
- Chen, Y., et al. "A modified two-part wolf pack search algorithm for the multiple traveling salesmen problem." *Applied Soft Computing*, **61**, pp. 714-725 (2017).
- Venkatesh, P. and Singh, A. "Two metaheuristic approaches for the multiple traveling salesperson problem." *Applied Soft Computing*, **26**, pp. 74-89 (2015).
- Jiang, C., Wan, Z. and Peng, Z. "A new efficient hybrid algorithm for large scale multiple traveling salesman problems." *Expert Systems with Applications*, **139**, 112867 (2020).
- Tang, L., et al. "A multiple traveling salesman problem model for hot rolling scheduling in shanghai baoshan iron

- & steel complex.” *European Journal of Operational Research*, **124**(2), pp. 267-282 (2000).
18. Kota, L. and Jarmai, K. “Mathematical modeling of multiple tour multiple traveling salesman problem using evolutionary programming.” *Applied Mathematical Modelling*, **39**(12), pp. 3410-3433 (2015).
 19. Shiri, S. and Huynh, N. “Optimization of drayage operations with time-window constraints.” *International Journal of Production Economics*, **176**, pp. 7-20 (2016).
 20. Király, A., et al. “Minimization of off-grade production in multi-site multi-product plants by solving multiple traveling salesman problem.” *Journal of cleaner production*, **111**, pp. 253-261 (2016).
 21. Gavish, B. and Srikanth, K. “An optimal solution method for large-scale multiple traveling salesmen problems”. *Operations Research*, **34**(5), pp. 698-717 (1986).
 22. Bektas, T. “The multiple traveling salesman problem: an overview of formulations and solution procedures.” *Omega*, **34**(3), pp. 209-219 (2006).
 23. Oberlin, P., Rathinam, S. and Darbha, S. “A transformation for a multiple depot, multiple traveling salesman problem.” In *2009 American Control Conference*. IEEE (2009).
 24. Pandiri, V. and Singh, A. “A hyper-heuristic based artificial bee colony algorithm for k-interconnected multi-depot multi-traveling salesman problem.” *Information Sciences*, **463**, pp. 261-281 (2018).
 25. Zhou, H. Song, M. and Pedrycz, W. “A comparative study of improved GA and PSO in solving multiple traveling salesmen problem.” *Applied Soft Computing*, **64**, pp. 564-580 (2018).
 26. Zhu, Y. and Wu, L. “Structure study of multiple traveling salesman problem using genetic algorithm.” In *2019 34rd Youth Academic Annual Conference of Chinese Association of Automation (YAC)*. IEEE (2019).
 27. Mitchell, M. “An Introduction to genetic algorithms”, *Massachusetts Institute of Technology*, MIT Press, Cambridge (1996).
 28. Alves, R.M. and Lopes, C.R. “Using genetic algorithms to minimize the distance and balance the routes for the multiple traveling salesman problem.” In *2015 IEEE Congress on Evolutionary Computation (CEC)*. IEEE (2015).
 29. Lo, K.-M., et al. “A genetic algorithm with new local operators for multiple traveling salesman problems.” *International Journal of Computational Intelligence Systems*, **11**(1), pp. 692-705 (2018).
 30. Dorigo, M., Colorni, A. and Maniezzo, V. “Distributed optimization by ant colonies” (1991).
 31. Ghafurian, S. and Javadian, N. “An ant colony algorithm for solving fixed destination multi-depot multiple traveling salesmen problems.” *Applied Soft Computing*, **11**(1), pp. 1256-1262 (2011).
 32. Changdar, C., Pal, R.K. and Mahapatra, G. “A genetic ant colony optimization based algorithm for solid multiple travelling salesmen problem in fuzzy rough environment.” *Soft Computing*, **21**(16), pp. 4661-4675 (2017).
 33. Dorigo, M., Maniezzo, V. and Colorni, A. “Ant system: optimization by a colony of cooperating agents.” *IEEE Transactions on Systems, Man, and Cybernetics, Part B (Cybernetics)*, **26**(1), pp. 29-41 (1996).